

韓國人 高血壓患者의 收縮期時間間隔에 관한 研究

中央大學校 醫科大學 內科學教室

車 光 淚·李 相 廉·柳 彥 浩

=Abstract=

A Study on the Systolic Time Intervals in Korean Hypertensive Patients

Cha Kwang Soo, M.D., Lee Sang Yong, M.D. and Ryoo Un Ho, M.D.

Department of Internal Medicine, College of Medicine, Chung-Ang University

The aim of this study was to quantitatively estimate the effect of hypertension upon the left ventricle, using the systolic time intervals.

The subjects for this study consist of 72 hospitalized hypertensive patients including 38 males and 34 females.

The measurements of the systolic time intervals were obtained from simultaneous high speed recording(100 mm/sec) of an electrocardiographic lead best displaying the onset of left ventricular depolarization, a carotid pulse tracing, and a phonocardiogram best displaying the initial high frequency vibrations of the aortic valve closure sound.

All data were corrected for heart rate and sex using the regression equations of Weissler et al.

The results were as follows:

- 1) As the diastolic blood pressure increased, shortening of left ventricular ejection time index and prolongation of preejection period index and PEP/LVET ratio were significant.
- 2) As the electrocardiographic findings related to hypertension became severe shortening of left ventricular ejection time index and prolongation of preejection period index and PEP/LVET ratio were significant.
- 3) As the hypertensive retinopathy became severe, shortening of left ventricular ejection time index and prolongation of preejection period index and PEP/LVET ratio were significant.

It was suggested that the measurement of the systolic time intervals are useful in assessing the effects of hypertension upon the left ventricular function and in detecting early recognition of cardiac dysfunction in hypertension, even though not necessarily associated with overt heart failure.

緒 論

의한 收縮期時間間隔으로 心機能을 파악하는데 中요한
방법으로 대두되었다.

觀血的인 방법은 환자에게 주는 고통도 뿐아니라
복잡한 시설, 과도한 비용, 훈련된 많은 인원 및 시간
의 소요가 크며 조작이 어려우나 收縮期時間間隔의 측
정은 조작이 간편하고 반복 측정할 수 있는 잇점으로
임상에서 널리 사용되고 있다.

收縮期時間間隔의 측정은 觀血的 心機能検査法이 발
달됨에 따라 非觀血的으로 측정한 收縮期時間間隔이 觀
血的 검사방법에 의한 측정치와 밀접한 상관관계가 있
다는 것이 밝혀짐에 따라¹⁾, 근래에 非觀血的 方法에

최근 국내에서 정상인에게 非觀血的으로 측정한 收縮期時間間隔에 관한 연구가 몇몇 있으나^{2~4)}, 만성형 左心室 질환을 일으키는 원인의 하나인 고혈압이 左心室기능에 미치는 영향에 관한 연구는 드문 편이다. 이에 저자는 고혈압에 의한 心不全症이 임상적으로 발전되기 전에 左心室 기능이상을 조기에 발견하여 고혈압 환자의 치료에 도움을 줄 수 있는가에 주안을 두어 心電圖, 心音圖 및 頸動脈波를 동시에 기록하고, 收縮期時間間隔을 측정 관찰하여 몇가지 성과를 얻었기에 보고하는 바이다.

研究對象 및 方法

1980년 1월부터 1982년 4월까지 2년 4개월간 중앙대학교부속 성심병원 내과에 내원한 고혈압 환자중 理學的, 心電圖, 胸部 X線検査등으로 心不全症이 없으며, 적어도 1개월 이상 혈압降低下劑 혹은 自律神經 기능에 영향을 미치는 약물을 복용하지 않은 남자 38예, 여자 34예, 총 72예를 대상으로 하였으며, 대조군으로서 정상인은 남자 91예, 여자 80예, 총 171예를 대상으로 하였는데 정상인에서의 收縮期時間間隔의 연구는 이미 본 교실에서 발표한 바 있다²⁾.

고혈압 환자는 重等度에 따라 다음과 같이 분류하여 收縮期時間間隔을 비교 관찰하였다. 고혈압의 重等度를 분류하는 방법은 통일된 기준은 없으나 心血管疾患의 기질적 변화에 따른 일반적인 분류 방법에 따랐다⁵⁾.

1. 擴張期 혈압

- A. 95~104 mmHg
- B. 105~114 mmHg
- C. 115 mmHg

2. 心電圖 소견

- A. 정상
- B. 고혈압성 심질환

a. Left ventricular hypertrophy in voltage— 다음중 하나 또는 그 이상을 나타낼 때 : $R_1 + S_1 \geq 25$ mm, $SV_{1\sim2} + RV_{5\sim6} \geq 35$ mm 및 $RV_{5\sim6} \geq 27$ mm.

b. Left ventricular strain—左側胸部 誘導에서 T波의 逆位 및 ST節의 저하를 나타낼 때.

c. Left ventricular hypertrophy—a 와 b를 같이 나타낼 때.

3. 眼底소견

Keith, Wagener 및 Basker의 판정기준에 의하여⁷⁾

A. 정상

- B. 고혈압성 眼底
 - a. K-W stage I
 - b. K-W stage II
 - c. K-W stage III
 - d. K-W stage IV

收縮期時間間隔의 측정은 식사의 영향을 피하기 위하여 식사 후 2시간 후에 15분간 안정시킨 다음 仰臥位에서 三要素直記式 기록기(ECG/Phono/Pulse 3-Channel system, model FD-31p, Fukuda Denshi Co.)와 그것에 부속되어 있는 transducer 및 microphone을 사용하여 心電圖, 心音圖, 頸動脈波를 고속도 기록법(100 mm/sec)에 의해 동시에 기록하였다. 이때 心電圖는 標準誘導 II에서, 心電圖는 microphone를 心尖部와 left sternal border의 중간부위에 위치시키고, 頸動脈波는 transducer를 右側 總頸動脈 부위에 위치시킨 다음 深呼吸시킨 후 呼氣末 상태에서 호흡을 중지시키고 기록하였다.

收縮期時間間隔의 각期間은 Fig. 1에 의하여 다음과 같이 측정하였다⁹⁾.

電氣機械的收縮期(electromechanical systole, QS₂)는 心電圖상 QRS群의 시작부터 心音圖상 제 2心音의 최초 高振動音波의 시작까지의 시간이며, 左心室驅血時間(left ventricular ejection time, LVET)은 頸動

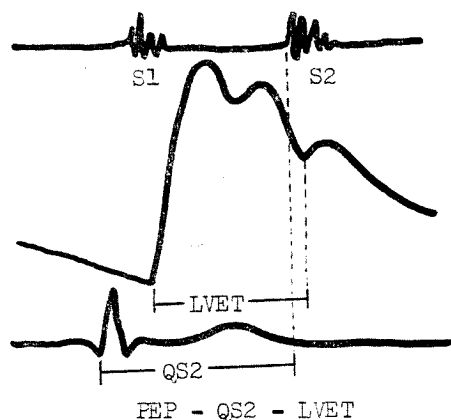


Fig. 1. Simultaneous Recording of a Phonocardiogram, External Carotid Pulse, and ECG, showing Measurements of Systolic Time Intervals. QS₂: Electromechanical Systole
LVET: Left Ventricular Ejection Time
PEP: Pre-ejection Period

脈波의 급격히 상승하기 시작하는 점(이 시점이 뚜렷하지 않을 때는 Werf et al.¹¹의 측정방법을 사용하였음)부터 dicrotic notch 까지의 시간을 말하며¹² 驅血前期(preejection period)는 電氣機械的收縮期에서 左心室驅血時間을 뺀 시간이다.

이들 收縮期時間間隔은 心搏數에 따라 그 수치의 변동이 생기므로 본 연구에서는 심박수로 교정을 하지 않은 收縮期時間間隔과 Table 1과 같은 Weisser의 회귀방정식¹³을 사용하여 심박수 및 성별에 따라 교정한 收縮期時間間隔指數, 즉 QS₂ index(QS₂I), LVET index(LVETI), PEP index(PEPI)를 산출하여 비교 관찰하였다.

成績

心不全症을 동반하지 않은 고혈압환자 남자 38예, 여자 34예, 총 72예에서 擴張期혈압, 心電圖소견 및 眼底소견에 따른 收縮期時間間隔의 변동은 다음과 같다.

1. 擴張期 혈압에 따른 收縮期時間間隔의 변동

Table 2,3에서와 같이 PEP/LVET 비율은 對照群에서 0.34 ± 0.07 이었고 擴張期 혈압이 1A群에서 0.33

± 0.08 , 1B群에서 0.44 ± 0.05 ($p < 0.001$), 1C群에서 0.53 ± 0.07 ($p < 0.001$)로서 1B 및 1C群에서 擴張期 혈압이 증가할 수록 PEP/LVET 비율은 有意하게 증가

Table 1. Calculation of Systolic Time Interval Index Values from Resting Regression Equations of Weisser*

Equation	Normal Index ± 1 SD(msec)
Electromechanical Systole Index (QS ₂ I)	
M QS ₂ I = 2.1 HR + QS ₂	546 \pm 14
F QS ₂ I = 2.0 HR + QS ₂	549 \pm 14
Left Ventricular Ejection Time Index (LVETI)	
M LVETI = 1.7 HR + LVET	413 \pm 10
F LVETI = 1.6 HR + LVET	418 \pm 10
Preejection Period Index (PEPI)	
M PEPI = 0.4 HR + PEP	131 \pm 10
F PEPI = 0.4 HR + PEP	133 \pm 11

M: Male, F: Female, HR: Heart Rate, SD: Standard Deviation

* Quoted from Lewis et al.: A critical review of the systolic time intervals. Circulation 56, 146~158, 1977.

Table 2. Systolic Time Intervals in Reference to Changes in Diastolic Blood Pressure (Mean \pm S.D.)

Group	Diastolic B.P.(mmHg)	No. of Case	QA ₂ (msec)	LVET (msec)	PEP (msec)	PEP/LVET ratio	HR (/min)
Control		171	372 \pm 31	279 \pm 30	93 \pm 17	0.34 \pm 0.07	73 \pm 12
1A	95~104	38	373 \pm 40	282 \pm 38	91 \pm 16	0.33 \pm 0.08	70 \pm 13
1B	105~114	26	389 \pm 34	271 \pm 25	118 \pm 15	0.44 \pm 0.05*	68 \pm 11
1C	115<	8	374 \pm 22	244 \pm 13	129 \pm 17	0.53 \pm 0.07*	75 \pm 13

S.D.: Standard Deviation, HR: Heart Rate

* $p < 0.001$

Table 3. Systolic Time Interval Index Values from Resting Regression Equations in Reference to Changes in Diastolic Blood Pressure (Mean \pm S.D.)

Group	Diastolic B.P.(mmHg)	No. of Case	QS ₂ I (msec)	LVETI (msec)	PEPI (msec)
Control		171	522 \pm 22	399 \pm 22	122 \pm 17
1A	95~104	38	520 \pm 25	398 \pm 17	129 \pm 15
1B	105~114	26	529 \pm 21	384 \pm 14	145 \pm 14*
1C	115<	8	527 \pm 20	367 \pm 15**	159 \pm 16*

S.D.: Standard Deviation

* $p < 0.001$, ** $p < 0.05$

Table 4. Systolic Time Intervals in Reference to Changes in ECG (Mean±S.D.)

Group	ECG Finding	No. of Case	QS ₂ (msec)	LVET (msec)	PEP (msec)	PEP/LVET ratio	HR (/min)
	Control	171	372±31	279±30	93±17	0.34±0.07	73±12
2A	Normal	28	373±22	276±23	99±26	0.35±0.1	68±8
2Ba	L.V.H. by Voltage	20	376±46	271±46	105±15	0.4±0.1	71±15
2Bb	L.V. Strain	8	380±58	266±35	114±27	0.43±0.08*	74±15
2Bc	L.V.H.	16	386±30	266±31	119±21	0.46±0.1*	71±13

S.D.: Standard Deviation, HR: Heart Rate

* p<0.01

Table 5. Systolic Time Interval Index Values from Resting Regression Equations in Reference to Changes in ECG (Mean±S.D.)

Group	ECG Finding	No. of Case	QS ₂ I (msec)	LVETI (msec)	PEPI (msec)
	Control	171	522±22	399±22	122±17
2A	Normal	28	529±15	393±17	126±26
2Ba	L.V.H. by Voltage	20	523±28	389±35	134±16
2Bb	L.V. Strain	8	531±28	386±15	144±22
2Bc	L.V.H.	16	521±23	377±16*	148±22**

S.D.: Standard Deviation

* p<0.02, ** p<0.05

Table 6. Systolic Time Intervals in Reference to Changes in Optic Fundus (Mean±S.D.)

Group	Finding of Hypertensive Retinopathy	No. of Case	QS ₂ (msec)	LVET (msec)	PEP (msec)	PEP/LVET ratio	HR (/min)
	Control	171	372±31	279±30	93±17	0.34±0.07	73±12
3A	Normal	24	365±28	276±28	89±23	0.32±0.1	69±10
3Ba	K-W Stage I	28	375±29	272±29	104±19	0.39±0.09	69±10
3Bb	K-W Stage II	12	387±39	272±37	115±23	0.43±0.1*	72±15
3Bc	K-W Stage III	8	375±38	254±31	121±15	0.49±0.09**	70±14

S.D.: Standard Deviation, HR: Heart Rate

* p<0.05, ** p<0.01

Table 7. Systolic Time Interval Index Values from Resting Regression Equations in Reference to Changes in Optic Fundus (Mean±S.D.)

Group	Findings of Hypertensive Retinopathy	No. of Case	QS ₂ I (msec)	LVETI (msec)	PEPI (msec)
	Control	171	522±22	399±22	122±17
3A	Normal	24	527±17	397±20	116±22
3Ba	K-W Stage I	28	529±16	386±21	131±19
3Bb	K-W Stage II	12	535±20	391±25	144±22*
3Bc	K-W Stage III	8	521±32	370±27**	149±15***

S.D.: Standard Deviation

* p<0.02, ** p<0.05, *** p<0.01

하였다.

QS_2I 는 對照群에서 522 ± 22 msec 이었고 擴張期 혈압이 1A群에서 520 ± 25 msec, 1B群에서, 529 ± 21 msec, 1C群에서 527 ± 20 msec로 擴張期 혈압의 변화에 따른 有意한 증감은 보이지 않았다.

LVETI는 對照群에서 399 ± 22 msec 이었고 擴張期 혈압이 1A群에서 398 ± 17 msec, 1B群에서 384 ± 14 msec, 1C群에서 367 ± 15 msec($p < 0.05$)로서 1C群에서 有意한 감소를 보여 擴張期 혈압이 증가 할수록 LVETI는 감소하였으나, 1B群에서는 다소 감소하였지만 意義 있는 차이는 없었다.

PEPI는 對照群에서 122 ± 17 msec 이었고 擴張期 혈압이 1A群에서 129 ± 15 msec, 1B群에서 145 ± 14 msec($p < 0.001$), 1C群에서 159 ± 16 msec($p < 0.001$)로서 1B 및 1C群에서 擴張期 혈압이 증가할수록 PEPI는 有意하게 증가하였다.

2. 心電圖 소견에 따른 收縮期時間間隔의 变동

Table 4, 5에 서와 같이 PEP/LVET 비율은 對照群에서 0.34 ± 0.07 이었고 心電圖上 2A群에서 0.35 ± 0.1 , 2Ba群에서 0.4 ± 0.1 , 2Bb群에서 0.43 ± 0.08 ($p < 0.01$)이고 2Bc群에서 0.46 ± 0.1 ($p < 0.01$)로서 2Bb 및 2Bc群에서 心電圖 소견이 심할수록 PEP/LVET 비율은 有意하게 증가하였다.

QS_2I 는 對照群에서 522 ± 22 msec 이었고 心電圖上 2群에서 529 ± 15 msec, 2Ba群에서 523 ± 28 msec, 2Bb群에서 531 ± 28 msec 이고 2Bc群에서 521 ± 23 msec로서 心電圖 소견이 심해져도 QS_2I 의 변화는 보이지 않았다.

LVETI는 對照群에서 399 ± 22 msec 이었고 2A群에서 393 ± 17 msec, 2Ba群에서 389 ± 35 msec, 2Bb群에서 386 ± 15 msec 이고 2Bc群에서 377 ± 16 msec($p < 0.02$)로서 2Bc群에서 有意한 감소를 보였으나, 2Ba 및 2Bb群에서는 다소 감소하였지만 意義 있는 차이는 없었다.

PEPI는 對照群에서 122 ± 17 msec 이었고 心電圖 2A群에서 126 ± 26 msec, 2Ba群에서 134 ± 16 msec, 2Bb群에서 144 ± 22 msec 이고 2Bc群에서 148 ± 22 msec($p < 0.005$)로서 2Bc群에서는 有意한 증가를 보였으나, 2Ba 및 2Bb群에서는 PEPI가 다소 증가를 보였지만 意義 있는 차이는 없었다.

3. 眼底소견에 따른 收縮期時間間隔의 变동

Table 6, 7과 같이 PEP/LVET 비율은 對照群에서 0.34 ± 0.07 이었고 眼底소견이 3A群에서 0.32 ± 0.1 , 3Ba

群에서 0.39 ± 0.09 , 3Bb群에서 0.43 ± 0.1 ($p < 0.05$), 3Bc群에서 0.49 ± 0.09 ($p < 0.01$)로서 3Bb 및 3Bc群에서 眼底소견이 심할수록 PEP/LVET 비율은 有意하게 증가하였다.

QS_2I 는 對照群에서 522 ± 22 msec 이었고 眼底소견이 3A群에서 527 ± 17 msec, 3Ba群에서 529 ± 16 msec, 3Bb群에서 535 ± 20 msec 이고 3Bc群에서 521 ± 32 msec로서 眼底소견이 심해져도 有意한 증감은 보이지 않았다.

LVETI는 對照群에서 399 ± 22 msec 이었고 眼底소견이 3A群에서 397 ± 20 msec, 3Ba群에서 386 ± 21 msec, 3Bb群에서 391 ± 25 msec 이고 3Bc群에서 370 ± 27 msec($p < 0.05$)로서 3Bc群에서는 有意한 감소를 보였으나, 3Ba 및 3Bb群에서는 다소 감소하였지만 意義 있는 차이는 없었다.

PEPI는 對照群에서 122 ± 17 msec 이었고 眼底소견이 3A群에서 116 ± 22 msec, 3Ba群에서 131 ± 19 msec, 3Bb群에서 144 ± 22 ($p < 0.02$)이고 3Bc群에서 149 ± 15 msec($p < 0.01$)로서 3Bb 및 3Bc群에서 有意한 증가를 보였다.

考 察

만성 左心室疾患인 冠狀動脈疾患, 고혈압 및 原發性 心筋疾患등에서 左心室 機能不全의 정도는 환자에 따라 차이가 많으며 이를 환자의 예후는 결국 左心室 機能정도에 따라 좌우된다고 하겠다. 이를 질환에서 일반적 임상증상은 左心室 機能不全의 정도를 정확히 나타낼 수 없으나 收縮期時間間隔을 측정하는 경우 어느 정도 左心室 機能不全의 輕重을 나타낼 수 있으며, 임상증상이 없을 때에도 異常소견으로 나타나는 수가 많다⁹. 그러나 收縮期時間間隔의 变동을 설명함에 있어서 左心室 자체의 機能不全 외에 digitalis, β -receptor 자극제 및 차단제, 혈관 수축제, 좌측脚枝 block 등 여러 요소에 의해서도 영향을 받음을 염두에 두어야 겠으며⁸, 또한 心週期의 길이 및 심장판막의 운동상태 등도 收縮期時間間隔을 변동시킬 수 있음이 보고되었다¹⁰.

QS_2 는 대부분의 심혈관계 질환에서 左心室 機能의 장애가 있어도 变동이 적은데 그 이유는 약물작용이 없는 한 左心室 機能장애 때 PEP는 길어지고 LVET는 짧아져 결국 QS_2 는 变동이 적다 하였으며¹¹, 저자의 성적에서도 QS_2 는 擴張期 혈압, 心電圖 및 眼底소견의 变동에 따른 有意한 관계를 찾아볼 수 없었다.

LVET는 擴張期 혈압이 증가함에 따라, 心電圖 및

眼底소견이 심해짐에 따라有意하게 짧아져 Weissler¹²⁾, Ahmed et al.¹³⁾, 申¹⁴⁾등의 보고와 비슷하였는데, 申¹⁴⁾의 보고에서 LVETI가擴張期 혈압이 120 mmHg 이상일 때 339 ± 33 msec, 心電圖上 left ventricular 가 hypertrophy 보일 때 382 ± 28 msec, 眼底소견이 K-W stage VI 일 때 375 ± 18 msec로서 본 연구와 유사한 결과를 보이고 있다. Weissler et al.¹²⁾은 LVET가 짧아지는 것이 stroke volume의 감소 및 左心室收縮力의 감소가 주 원인이라 하였다.

PEP는 擴張期 혈압이 증가할수록, 心電圖 및 眼底소견이 심할수록 유의하게 길어져 Weissler¹⁵⁾, Nimura et al.¹⁰⁾, Tarazi et al.¹⁶⁾, 申¹⁴⁾등의 보고와 비슷하였다. 申¹⁴⁾의 보고에서 PEPI는 擴張期 혈압이 120 mmHg 이상일 때 148 ± 19 msec, 心電圖上 left ventricular hypertrophy 가 보일 때 133 ± 25 msec, 眼底소견이 K-W stage IV 일 때 169 ± 14 msec로서 본 연구와 유사한 결과를 보이고 있다. Tarazi et al.¹⁶⁾는 PEP는 단지 擴張期 혈압과 밀접한 관계가 있을 뿐이지, PEP 중 電氣機械의 遷延時間(electromechanical delay time, QS_i)은 길어지나 等容性收縮時間(isovolumic contraction time, 은 멀 변동이 없음을 보아 心筋收縮力의 감소로 인한 영향은 적을 것이라 하였다.

PEP/LVET 비율은 心搏數가 分당 50~110의 범위내에서는 心搏數의 영향을 안받으며, PEPI 및 LVETI가 정상 범위인데도 PEP/LVET 비율은 異常소견을 나타낼 수 있으며¹⁵⁾, 收縮期時間間隔 중 PEP/LVET 비율이 左心室 조영술로 측정한 ejection fraction과 가장 밀접함을 보아 左心室機能측정에 있어 가장 예민하며 효과적이라고 할 수 있다¹⁷⁾. 본 연구에서 PEP/LVET 비율은 擴張期 혈압이 증가할수록 心電圖 및 眼底소견이 심할수록 유의하게 증가하였는데 Weissler et al.¹⁸⁾은 左心室機能장애 때 PEP는 길어지나 LVET는 짧아져 결국 PEP/LVET 비율은 증가한다고 하여 저자의 성적과 일치한다. 또한 申¹⁴⁾의 보고에서 PEP/LVET 비율은 擴張期 혈압이 120 mmHg 이상에서 0.46 ± 0.08 , 心電圖上 left ventricular hypertrophy 가 보일 때 0.46 ± 0.09 , 眼底소견이 K-W stage IV 일 때 0.57 ± 0.15 로서 본 연구와 유사한 결과를 보이고 있다. PEP/LVET 비율이 0.4이상일 때를 左心室機能장애로 보면 擴張期 혈압이 105 mmHg 이상일 때, 心電圖 소견이 left ventricular strain이나 left ventricular hypertrophy를 나타낼 때와 眼底소견이 K-W stage II이 상일 때는 左心室機能이 유의하게 감소되었을 것으로 생각된다.

收縮期時間間隔의 측정은 일차적으로 左心室의 機能의 측정방법이기 때문에 여러 심질환들의 감별진단에는 별 도움을 주지 못하는 난점이 있으나, 左心室에 대한 여러 심질환이 끼치는 영향을 양적으로 평가할 수 있고 다른 非觀血的 검사방법처럼 반복해서 검사할 수 있으므로 치료효과의 판정이나 질병의 결과를 관찰하는데 널리 이용되고 있다.

結論

만성형 左心室疾患의 하나인 고혈압으로 인하여 左心室機能에 미치는 영향을 연구하고자 1980년 1월부터 1982년 4월까지 2년 4개월간 중앙대학교 부속 성심병원에서 진료받은 心不全 및 다른 심질환을 동반하지 않은 고혈압 환자중 남자 38예, 여자 34예, 총 72예를 대상으로 心電圖, 心音圖, 頸動脈波를 동시에 고속도 측정하여 그 측정치와 Weissler 등의 회귀방정식에 의하여 收縮期時間間隔指數를 산출하여 비교 관찰하여 다음과 같은 결론을 얻었다.

1. 擴張期 혈압이 증가함에 따라 LVETI는 감소하였으며, PEPI 및 PEP/LVET 비율은 증가하였다.

2. 고혈압에 의한 心電圖 소견이 심할수록 LVETI는 감소하였으며, PEPI 및 PEP/LVET 비율은 증가하였다.

3. 고혈압에 의한 眼底변화가 심해질수록 LVETI는 감소하였으며, PEPI 및 PEP/LVET 비율은 증가하였다.

고혈압환자의 收縮期時間間隔의 측정은 고혈압으로 인한 左心室機能異常을 평가할 수 있는 방법으로 생각되며, 또한 임상적으로 뚜렷한 心不全이 없을 때라도 고혈압으로 인한 心機能異常을 조기에 발견할 수 있어 고혈압 환자의 치료에 도움을 줄 수 있다고 생각된다.

REFERENCES

- 1) Werf, F.V., Piessens, J., Kesteloot H. and De Geest, H.: A comparison of systolic time intervals derived from the central aortic pressure and from the external carotid pulse tracing, *Circulation* 51, 310-316, 1973.
- 2) 박병국, 이상용, 유언호: 정상 한국인의 수축기시간간격에 관한 연구, *한국의과학*, 13, 15-21, 1981.

- 3) 서준규, 최치호, 유흥선, 노영무, 송희승 : 비판혈
적인 방법에 의한 한국인 좌심실주기에 관한 연구.
대한내과학회잡지, 20, 670-674, 1977.
- 4) 최윤식, 신익균 : 정상 한국인의 수축기시간간격에
관한 연구. 순환기, 8, 9-12, 1978.
- 5) 정남준, 김영설, 김명식, 송정상, 배종화, 최영길
: 고혈압의 중등도에 관한 임상적 관찰. 대한내과
학회잡지, 22, 623-630, 1970.
- 6) Chung, E.K.: *Electrocardiography*, 2nd ed., p.
47-64, Harper & Row Publishers, New York,
1980.
- 7) Keith, W.M., Wagener, H.P. and Barker, M.W.:
*Some different types of essential hypertension:
Their course & prognosis.* Am. J. Med. Sci.,
197, 332-336, 1939.
- 8) Lewis, R.P., Rittgers, S.E., Forester, W.F. and
Boudoulas, H.: *A critical review of the systolic
time intervals.* Circulation, 56, 146-158,
1977.
- 9) Weissler, A.M., Harrid, W.S. and Schoenfeld,
C.D.: *Systolic time intervals in heart failure
in man.* Circulation, 37, 149-153, 1968.
- 10) Nimura, et al.: *Analysis of a cardiac cycle of
the left side of the heart in cases of the left
ventricular overloadings or damage with the
ultrasonic Doppler method.* Am. Heart J., 75,
14-20, 1968.
- 11) Puchner, T.C., Hyuston, J.H. and Hellmuth,
G.A.: *Heart sounds and murmurs in arterial*
hypertension. Am. J. Cardiol. 6, 630-635,
1960.
- 12) Weissler, A.M., Peeler, R.G. and Roehll, W.H.
Jr.: *Relationships between left ventricular ejection
time, stroke volume, and heart rate in
normal individuals and patients with cardiova-
scular disease.* Am. Heart J., 62, 367-378,
1961.
- 13) Ahmed, S.S., Levinson, G.E., Schwartz, C.J.
and Ettinger, P.O.: *Systolic time intervals as
measures of the contractile state of the left
ventricular myocardium in man.* Circulation, 46,
559-571, 1972.
- 14) 신익균, 신인호, 임성규, 이란희, 최윤식, 황정운,
전구연 : 한국인 고혈압환자의 수축기시간간격에 관
한 연구. 대한내과학회잡지, 22, 114-121, 1979.
- 15) Weissler, A.M.: *Systolic time intervals.* N Engl.
J. Med., 296, 321-324, 1977.
- 16) Tarazi, R.C., Frolich, E.D. and Dustan, H.P.:
*Left atrial abnormality and ventricular preeje-
ction period in hypertension.* Dis. Chest, 55,
214-218, 1969.
- 17) Lewis, R.P., Bouldoulas, H. and Welch, T.G.:
*Usefulness of systolic time intervals in corona-
ry artery diseases.* Am. J. Cardiol., 37, 778-
796, 1976.
- 19) Weissler, A.M. and Schoenfeld, C.D.: *Effect
of digitalis on systolic time intervals in heart
failure.* Am. J. Med. Sci., 259, 5-11, 1970.